

TRIODE for use as H.F. or L.F. amplifier or oscillator

TRIODE pour utilisation en amplificateur H.F. ou B.E  
ou en oscillatrice

TRIODE zur Verwendung als HF- oder NF-Verstärker oder  
Oszillator

Cooling : forced air  
Refroidissement: par ventilation forcée  
Kühlung : Pressluftkühlung

Filament : tungsten, three-phase  
Filament : tungstène, triphasé  
Heizfaden: Wolfram, drei Phasen

Heating : direct per phase  $V_f = \text{max. } 28,3 \text{ V}^1)$   
Chauffage: direct par phase  $I_f = 48,5 \text{ A}$   
Heizung : direkt pro Phase

Filament current must never exceed a peak value of 100 A per phase at any time during initial energising schedule.

Le courant d'enclenchement ne doit jamais dépasser une valeur de crête de 100 A par phase.

Der Anlaufstrom darf niemals einen Scheitelwert von 100 A pro Phase überschreiten.

Capacitances	$C_a = 2,6 \text{ pF}$
Capacités	$C_g = 72 \text{ pF}$
Kapazitäten	$C_{ag_1} = 31 \text{ pF}$

Typical characteristics       $\mu \left\{ I_a = 1,25 \text{ A} \right\} = 25$   
Caractéristiques types       $S \left\{ V_a = 12 \text{ KV} \right\} = 16,5 \text{ mA/V}$   
Kenndaten

$I_{sat} = 23 \text{ A}$

<sup>1</sup>) Each valve is marked with the value of the filament voltage at which the saturation current has a value of 23 A.

La valeur de tension du filament correspondante à un courant de saturation de 23 A est indiquée à chaque tube.

Auf jeder Röhre ist der Wert der Heizspannung angegeben, wobei der Sättigungsstrom einen Wert von 23 A erhält.

$\lambda$	Freq.	C telegr.	B teleph.	C an.mod.	B mod. 1)				
m	Mc/s	V <sub>a</sub> (kV)	W <sub>o</sub> (kW)						
>15	<20	15	48,5	15	9	12	27	12	80
		12	38	12	8,5	10	21,5	12	38,5
		10	31	10	8	10	20,5	10	77
11	27	15	45			12	26		
		8	37,5	10	26	10	20,5	10	32

## Air cooling characteristics

Caractéristiques de refroidissement par air

Luftkühlungsdaten

W <sub>a</sub> (kW)	h (m)	t <sub>i</sub> max. (°C)	q min. (m <sup>3</sup> /min)	P <sub>i</sub> (mm H <sub>2</sub> O)	See also cooling curves Voir aussi les courbes de re- froidissement Siehe auch die Kühlungskurven.
18	0	35	25,5	130	See also cooling curves Voir aussi les courbes de re- froidissement Siehe auch die Kühlungskurven.
	0	45	29,5	170	
	1500	35	30,5	155	
	3000	25	32,5	155	
12	0	35	17,5	65	See also cooling curves Voir aussi les courbes de re- froidissement Siehe auch die Kühlungskurven.
	0	45	20	80	
	1500	35	20,5	75	
	3000	25	22	75	

temperature of seals      }  
 temp. des scellements      } = max. 180 °C  
 Temp. der Einschmelzungen }

When the valve is used at frequencies above 10 Mc/s, special attention must be given to the anode- and grid-seal temperatures.

Cooling of the grid-seals can be effected by means of the caps 40632.

Cooling of the anode-seal is effected by air flowing through the slots provided at the top of the cooler housing. In certain cases, e.g. at low anode dissipation and with cooling by the minimum quantity of air (according to the cooling curves), the air flow to the seal may not be sufficient to maintain the seal temperature below the maximum permissible value at frequencies above 10 Mc/s.

Consequently, in these cases, a larger quantity of air must be supplied.

<sup>1)</sup> Two tubes; deux tubes; zwei Röhren

Il faut faire attention aux températures des scellements de l'anode et de la grille lorsqu'on utilise le tube aux fréquences supérieures à 10 Mc/s. Le refroidissement des scellments de la grille peut être réalisé au moyen des chapeaux 40632. Le refroidissement du scellement d'anode s'effectue par air traversant les fentes prévues du côté supérieur du refroidisseur. Dans certains cas, p.ex. aux basses valeurs de la dissipation anodique et au débit d'air minimum prescrit aux feuilles avec les courbes de refroidissement, il y a le risque que le courant d'air ne suffise pas pour un refroidissement effectif du scellement aux fréquences supérieures à 10 Mc/s et que, par conséquent, la température maximum admissible soit dépassée. Dans ces cas, il est nécessaire d'élever le débit d'air.

Insbesondere sind die Temperaturen der Anoden- und Gitterverschmelzung zu beachten, wenn die Röhre bei höheren Frequenzen als 10 MHz benutzt wird.

Die Gittereinschmelzungen können mit Hilfe der Schutzkappen 40632 gekühlt werden.

Die Anodenverschmelzung wird von dem Luftstrom gekühlt, der durch die am oberen Teil des Luftkühlgehäuses vorgesehenen Spalte hindurchfließt. Jedoch, bei Frequenzen höher als 10 MHz dürfte in gewissen Fällen, z.B. bei einer niedrigen Anodenverlustleistung, bei dem erforderlichen Mindestluftstrom (siehe die Kühlungskurven) eine zweckmäßige Kühlung der Anodenverschmelzung nicht erreicht werden.

Folglich muss in diesen Fällen der Luftstrom in dem Masse den Mindestwert übersteigen, dass die Temperatur der Verschmelzung den höchstzulässigen Wert nicht überschreitet.

#### Protective caps for grid- and filament seals

Chapeaux de protection pour les sorties de la grille et du filament 40632

Schutzkappen für Gitter- und Heizfadenanschlüsse

#### Filament bracket (for D.C. supply)

Etrier du filament (pour alimentation par C.C.) 40606

Heizfadenbügel (für Gleichstromspeisung)

Net weight

Poids net

Nettogewicht

20 kg

Shipping weight

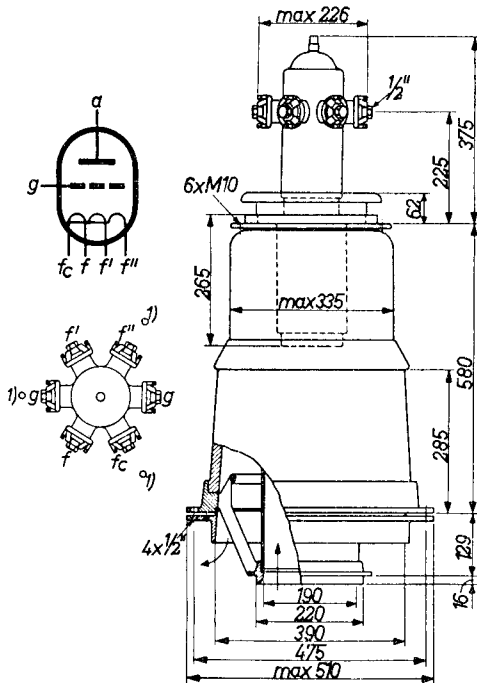
Poids brut

Bruttogewicht

87 kg

Tube mounted in cooler housing type K 505  
 Tube monté dans le refroidisseur type K 505  
 Röhre im Luftkühlgehäuse Typ K 505 montiert

Dimensions in mm  
 Dimensions en mm  
 Abmessungen in mm



Mounting position: vertical with anode down  
 Montage : vertical avec l'anode en bas  
 Einbau : senkrecht mit der Anoden unten

<sup>1)</sup>Holes for locating pins  
 Trou pour chevilles de localisation  
 Löcher für Sucherstifte

H.F. class C telegraphy  
H.F. classe C télégraphie  
HF - Klasse C Telegrafie

				max.	max.
Limiting values		V <sub>a</sub> = 15 kV	I <sub>g</sub> = 0,6 A		
Caractéristiques limites		-V <sub>g</sub> =1000 V	W <sub>ia</sub> = 75 kW		
Grenzdaten		I <sub>a</sub> = 5 A	W <sub>a</sub> = 18 kW		

Operating conditions  
Caractéristiques d'utilisation  
Betriebsdaten

$\lambda$ =	>15	>15	>15	11	8	m
f =	<20	<20	<20	27	37,5	Mc/s
V <sub>a</sub> =	15	12	10	15	10	kV
V <sub>g</sub> =	-900	-700	-600	-900	-600	V
I <sub>a</sub> =	4,2	4,2	4,2	4,2	4,2	A
I <sub>g</sub> =	0,42	0,5	0,53	0,42	0,6	A
V <sub>gp</sub> =	1470	1350	1160	1470	1200	V
W <sub>ig</sub> =	560	610	560	560	650	W
W <sub>ia</sub> =	63	50,4	42	63	42	kW
W <sub>a</sub> =	14,5	12,4	11	18	16	kW
W <sub>o</sub> =	48,5	38	31	45	26	kW
$\eta$ =	77	75,5	74	71,5	62	%

H.F. class B telephony  
H.F. classe B téléphonie  
HF - Klasse B Telefonie

				max.
Limiting values		V <sub>a</sub> = 15 kV		
Caractéristiques limites		I <sub>a</sub> = 2,5 A		
Grenzdaten		W <sub>ia</sub> = 37,5 kW		
		W <sub>a</sub> = 18 kW		

Operating conditions  
Caractéristiques d'utilisation  
Betriebsdaten

$\lambda$ =	>15	>15	>15	m
f =	<20	<20	<20	Mc/s
V <sub>a</sub> =	15	12	10	kV
V <sub>g</sub> =	-500	-400	-315	V
I <sub>a</sub> =	1,8	2,2	2,5	A
V <sub>gp</sub> =	500	470	440	V
W <sub>ia</sub> =	27	26,5	25	kW
W <sub>a</sub> =	18	18	17	kW
W <sub>o</sub> =	9	8,5	8	kW
$\eta$ =	33	32	32	%

m =	100	100	100	%
I <sub>g</sub> =	0,3	0,36	0,4	A
W <sub>ig</sub> =	270	305	317	W

H.F. class C anode modulation  
 H.F. classe C modulation d'anode  
 HF - Klasse C Anodenmodulation

Limiting values	$V_a$	= max.	12 kV
Caractéristiques limites	$-V_g$	= max.	1000 V
Grenzdaten	$I_a$	= max.	2,9 A
	$I_g$	= max.	0,6 A
	$W_{ia}$	= max.	35 kW
	$W_a$	= max.	12 kW

Operating conditions  
 Caractéristiques d'utilisation  
 Betriebsdaten

$\lambda$	=	>15	>15	11	11	m
f	=	<20	<20	27	27	Mc/s
$V_a$	=	12	10	12	10	kV
$V_g$	<sup>1)</sup> =	-1000	-900	-1000	-900	V
$I_a$	=	2,9	2,9	2,9	2,9	A
$I_g$	=	0,4	0,45	0,45	0,5	A
$V_{gp}$	=	1600	1550	1650	1600	V
$W_{ig}$	=	580	630	670	700	W
$W_{ia}$	=	35	29	35	29	kW
$W_a$	=	8	7,5	9	8,5	kW
$W_o$	=	27	21,5	26	20,5	kW
$\eta$	-	77	74	74	70,5	%
<hr/>						
m	=	100	100	100	100	%
$W_{mod}$	=	17,5	14,5	17,5	14,5	kW

<sup>1)</sup> Grid bias partially obtained by the grid resistor  
 Polarisation de grille obtenue partiellement par la résistance de grille

Gittervorspannung, teilweise durch den Gitterwiderstand erzeugt

**L.F. class B amplifier and modulator**  
**Amplificateur et modulatrice B.F. classe B**  
**NF - Verstärker und Modulator Klasse B**

Limiting values	$V_a$ = max. 15 kV
Caractéristiques limites	$I_a$ = max. 6 A
Grenzdaten	$W_{ia}$ = max. 90 kW
	$W_a$ = max. 18 kW

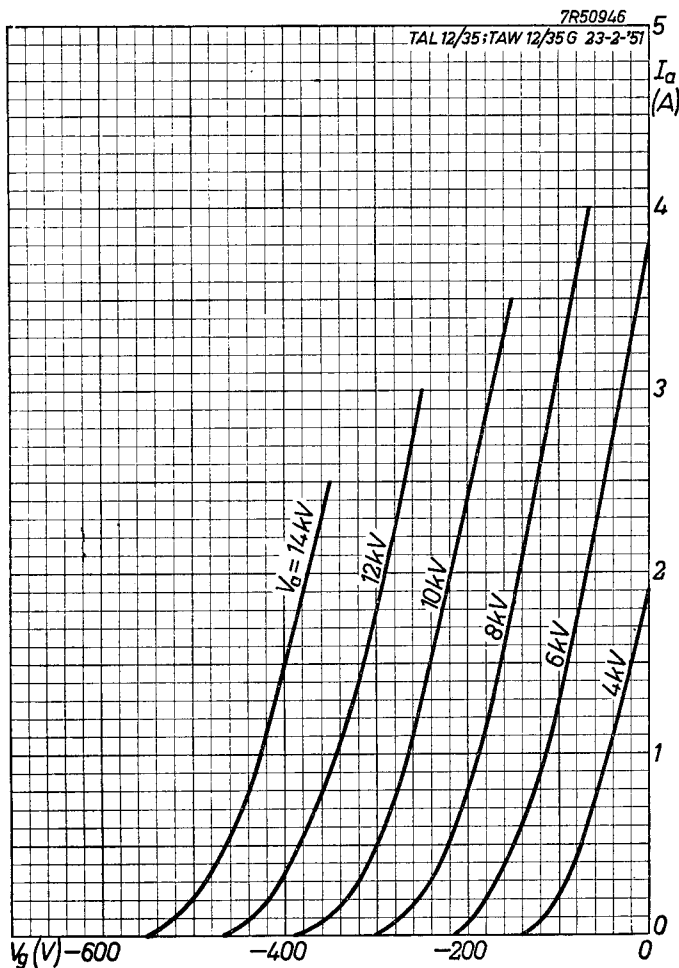
**Operating conditions, two valves**  
**Caractéristiques d'utilisation, deux tubes**  
**Betriebsdaten, zwei Röhren**

$V_a$ =	12	12	kV
$V_g$ =	-400	-425	V
$R_{aa}$ =	3,2	5,8	kΩ
$V_{ggp}$ =	0 2000	0 1480	V
$I_a$ =	2x0,35 2x4,5	2x0,15 2x2,25	A
$I_g$ =	0 2x0,55	0 2x0,19	A
$I_{gp}$ =	0 2x3	0 2x1,25	A
$W_{ig}$ =	0 2x500	0 2x127	W
$W_{ia}$ =	2x4,2 2x54	2x1,8 2x27	kW
$W_a$ =	2x4,2 2x14	2x1,8 2x7,7	kW
$W_o$ =	0 80	0 38,5	kW
$d_{tot}$ =	- 3,5	- 3,7	%
$\eta$ =	- 74	- 71,5	%

$V_a$ =	10	10	kV
$V_g$ =	-325	-345	V
$R_{aa}$ =	2,1	5	kΩ
$V_{ggp}$ =	0 2050	0 1330	V
$I_a$ =	2x0,3 2x5,4	2x0,14 2x2,25	A
$I_g$ =	0 2x0,6	0 2x0,2	A
$I_{gp}$ =	0 2x3	0 2x1,35	A
$W_{ig}$ =	0 2x555	0 2x120	W
$W_{ia}$ =	2x3 2x54	2x1,4 2x22,5	kW
$W_a$ =	2x3 2x15,5	2x1,4 2x6,5	kW
$W_o$ =	0 77	0 32	kW
$d_{tot}$ =	- 3,5	- 4	%
=	- 71,5	- 71	%

# PHILIPS

TAL 12/35

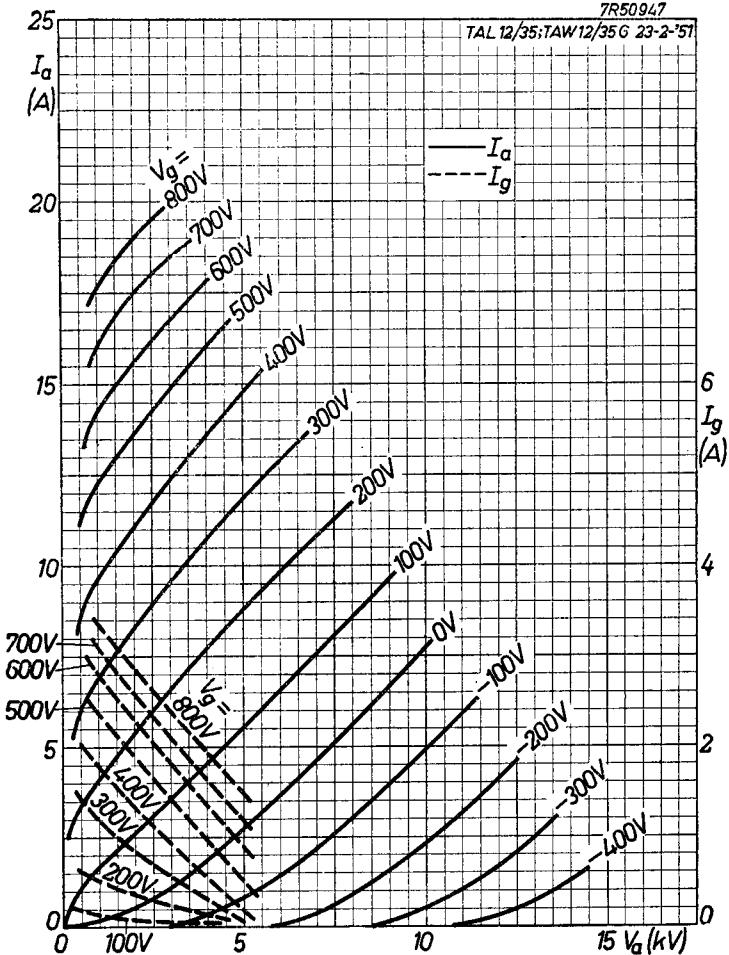


7.7.1954

A

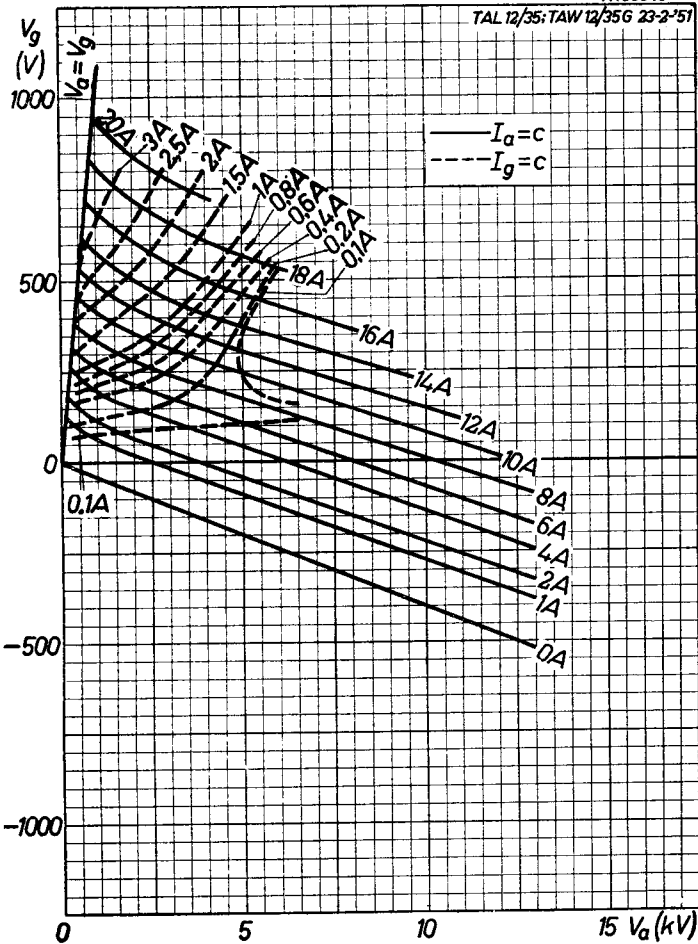
7R50947

TAL 12/35; TAW 12/35 G 23-2-'51



7R50948

TAL 12/35; TAW 12/35G 23-2-51



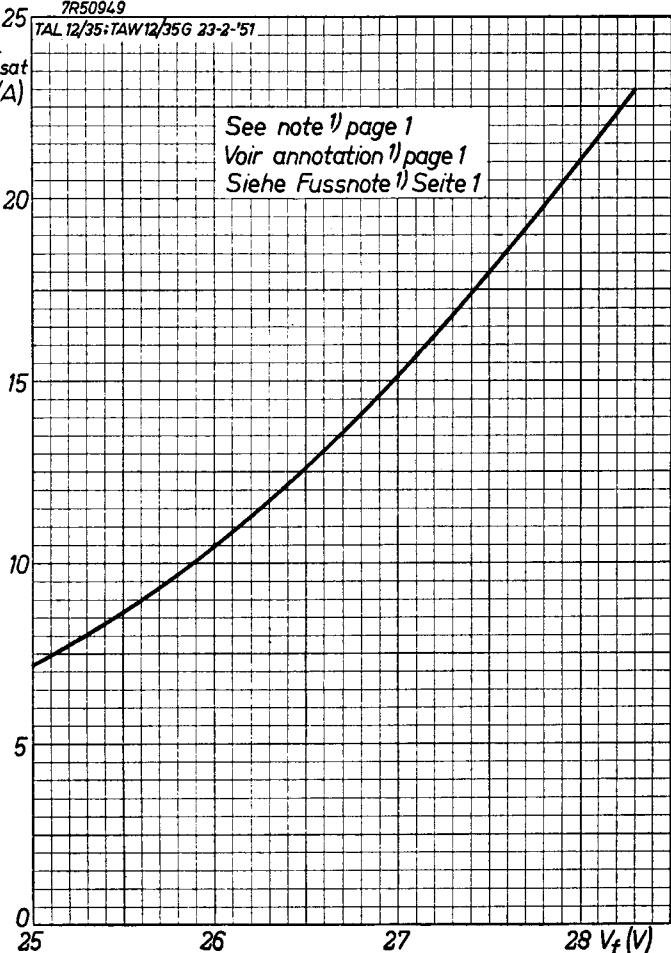
TAL 12/35

**PHILIPS**

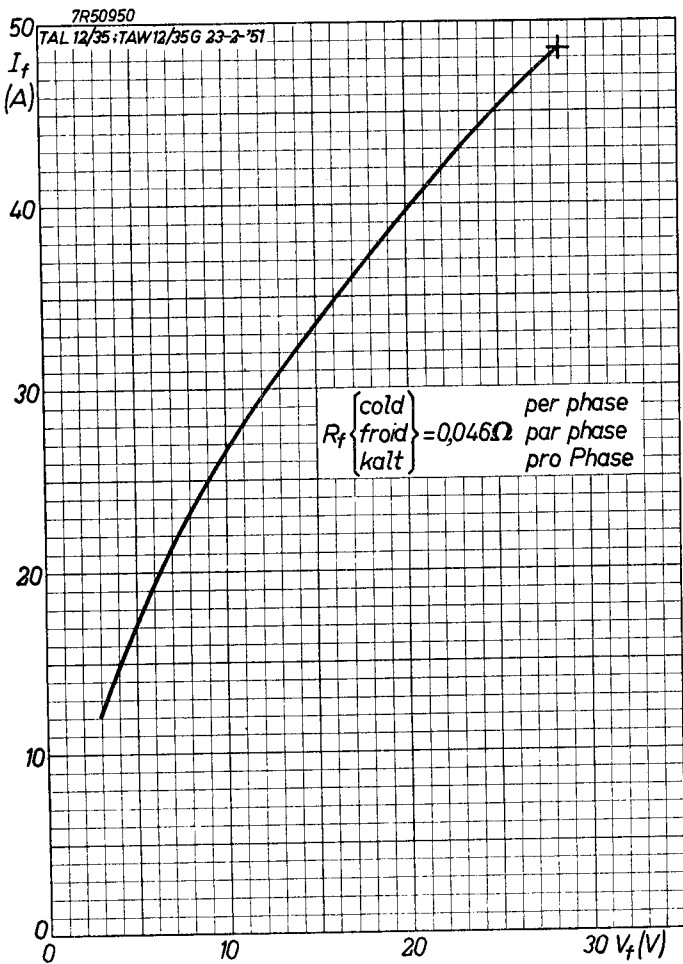
7R50949

TAL 12/35; TAW 12/35G 23-2-'51

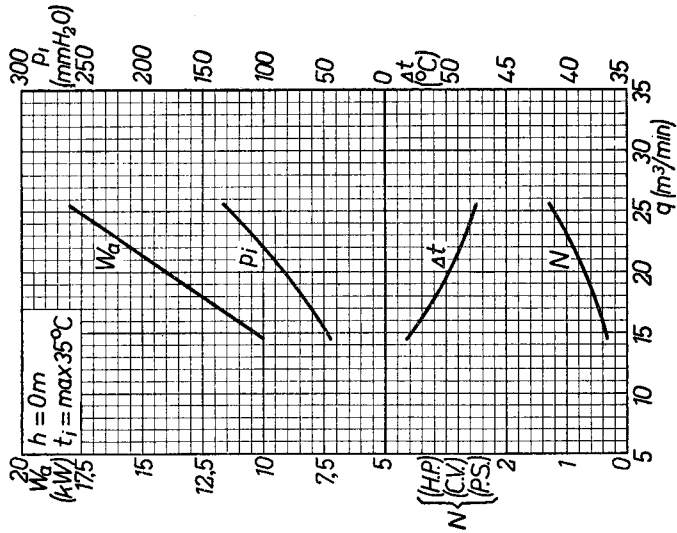
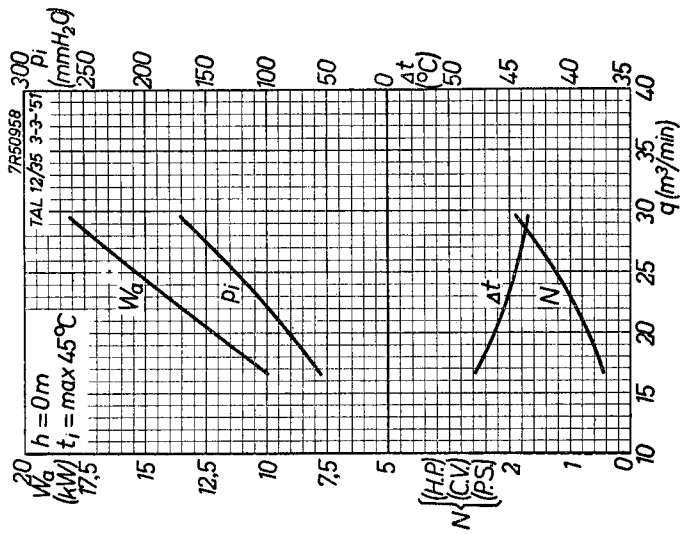
$I_{sat}$   
(A)

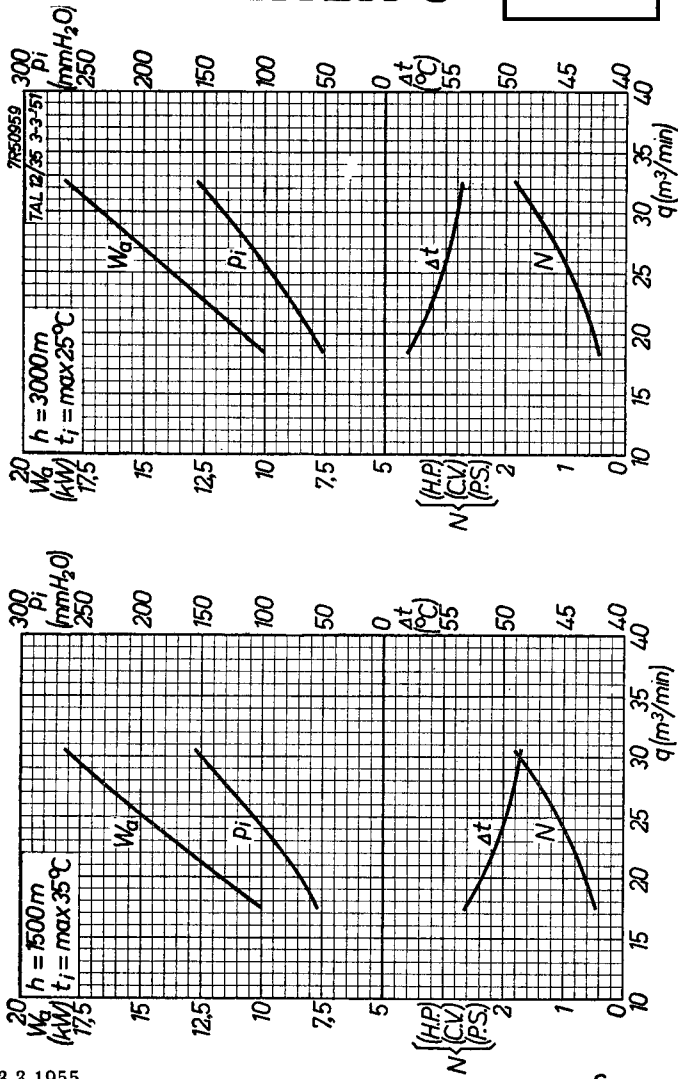


D

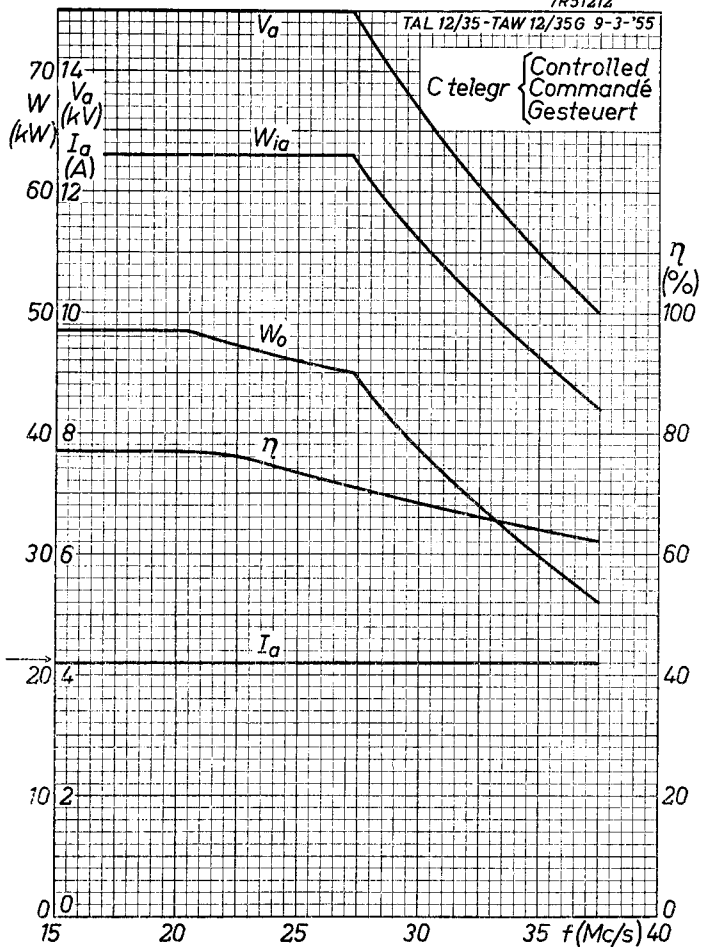


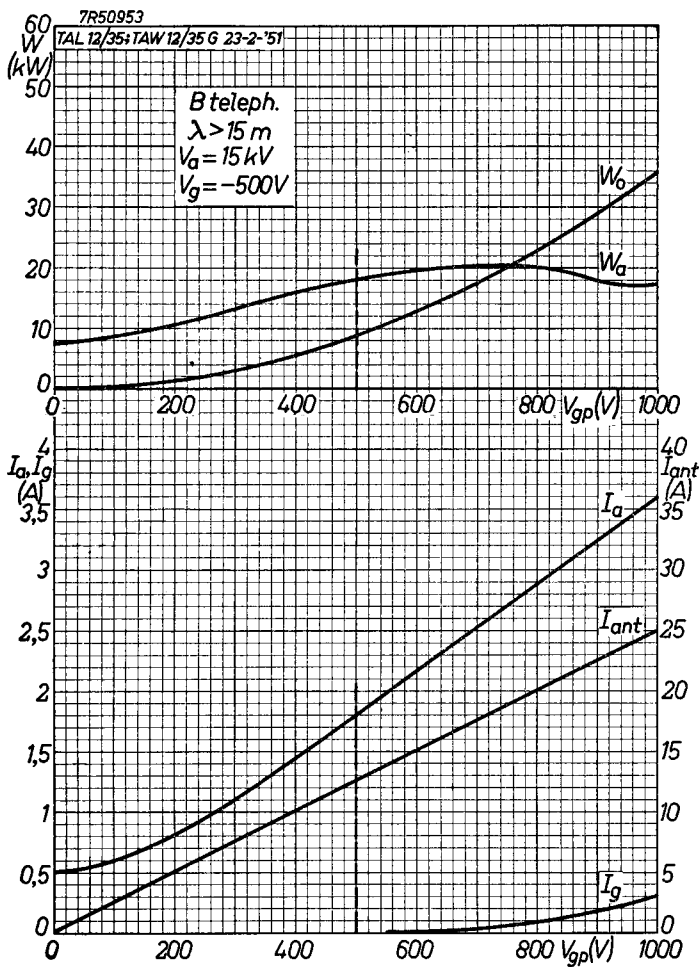
TAL 12/35

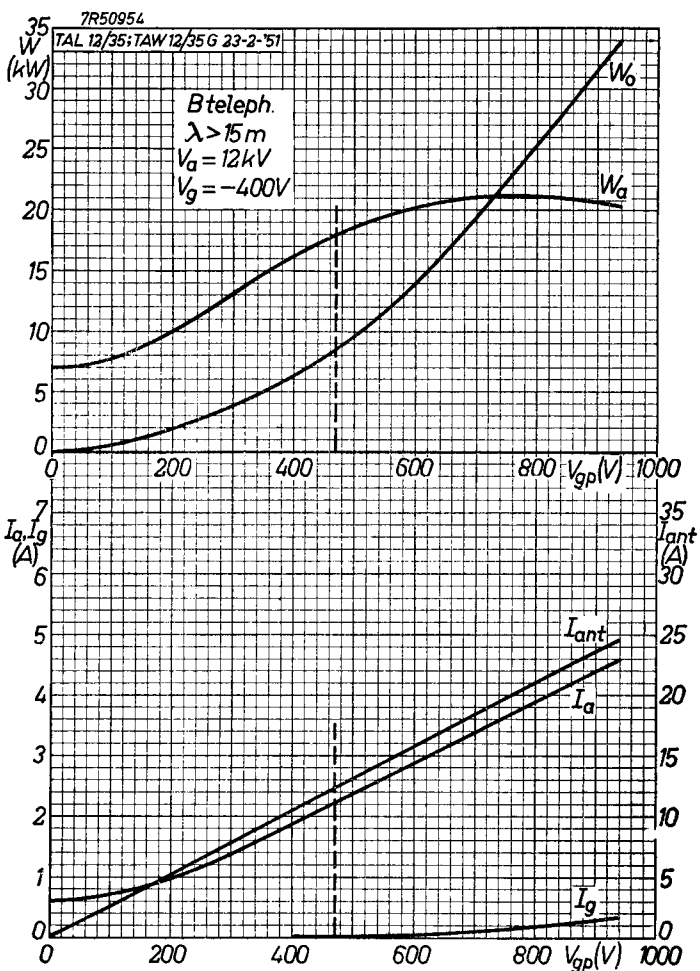
**PHILIPS**

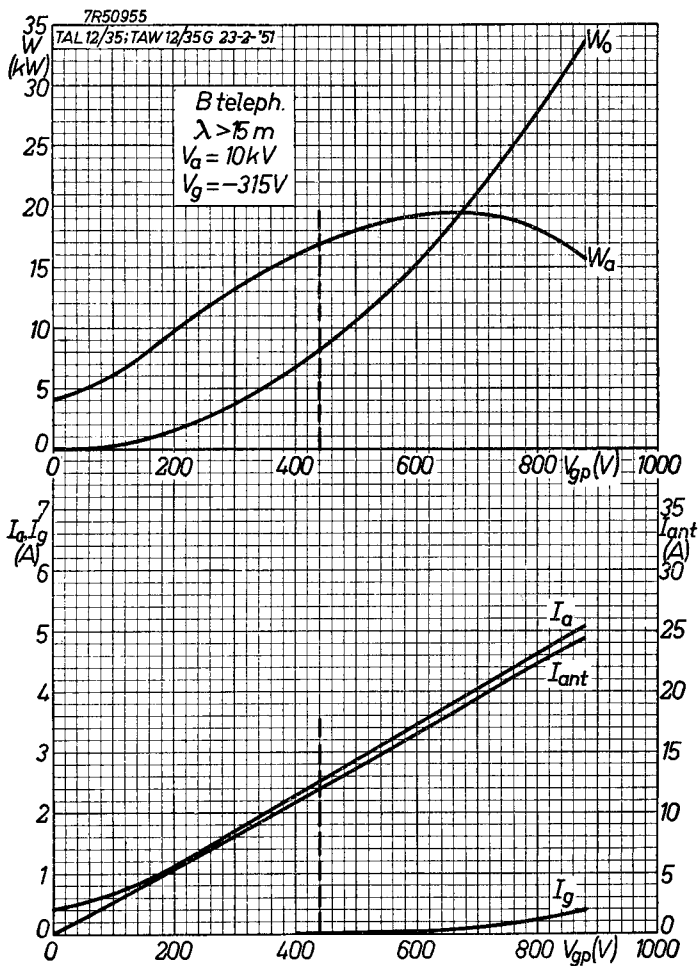


7R51212





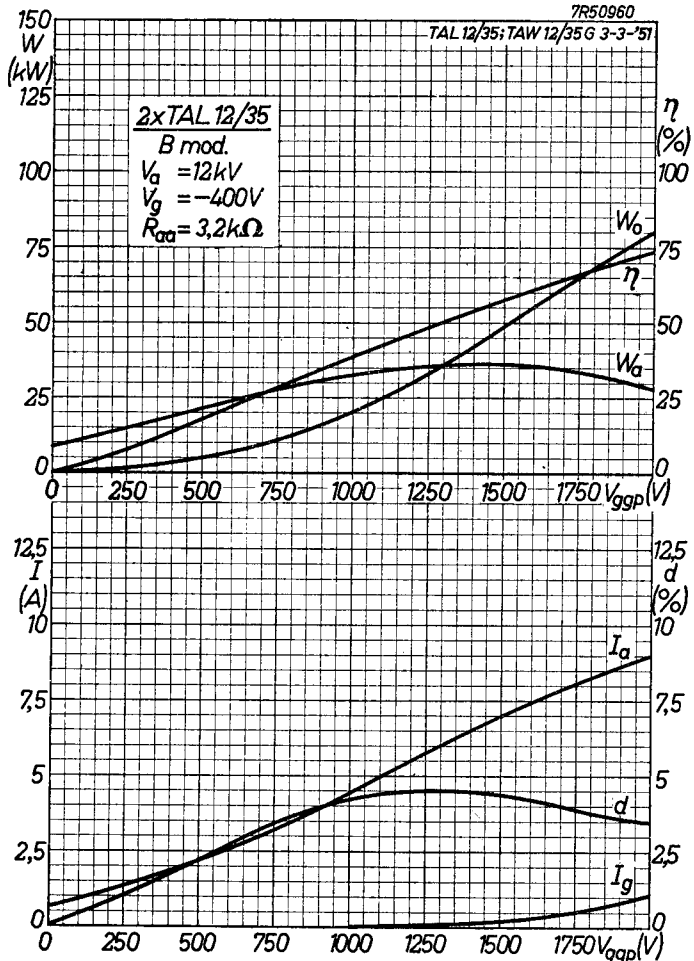




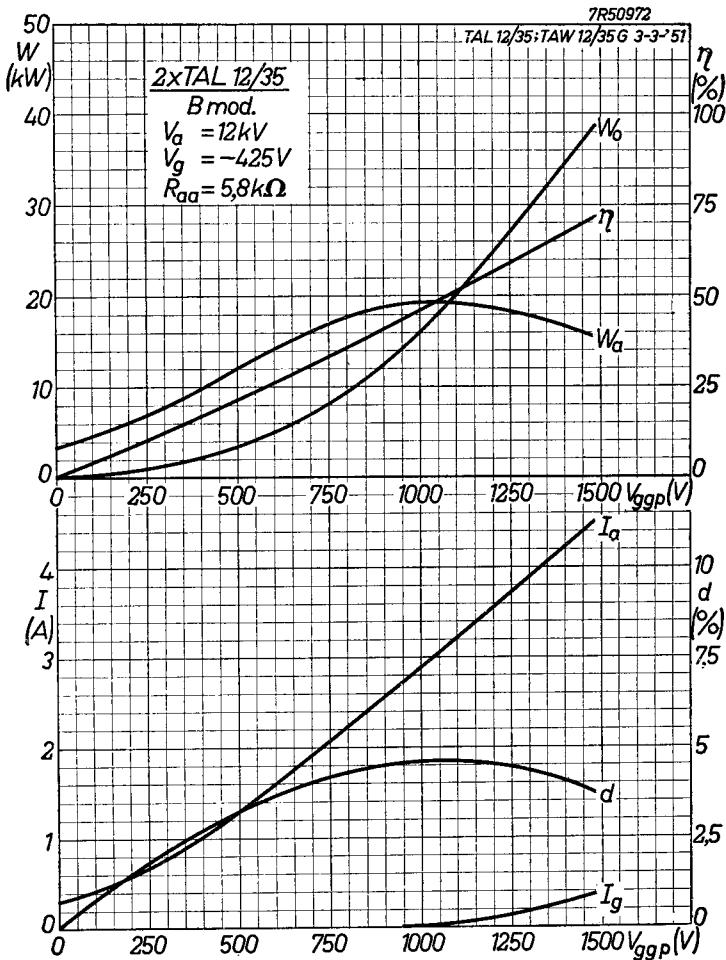
TAL 12/35

PHILIPS

7R50960

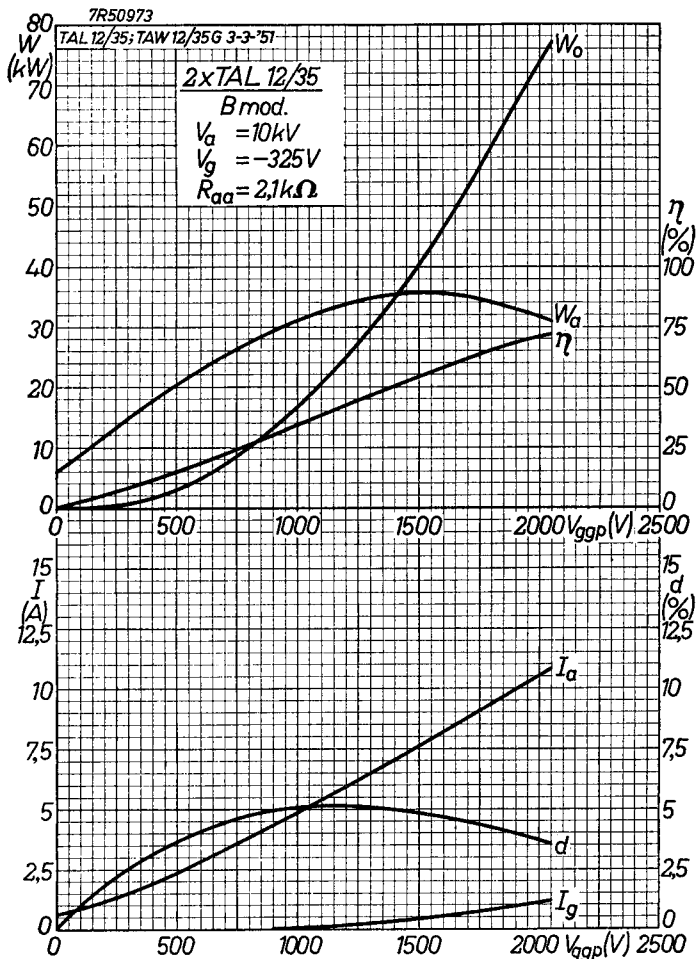
*L*

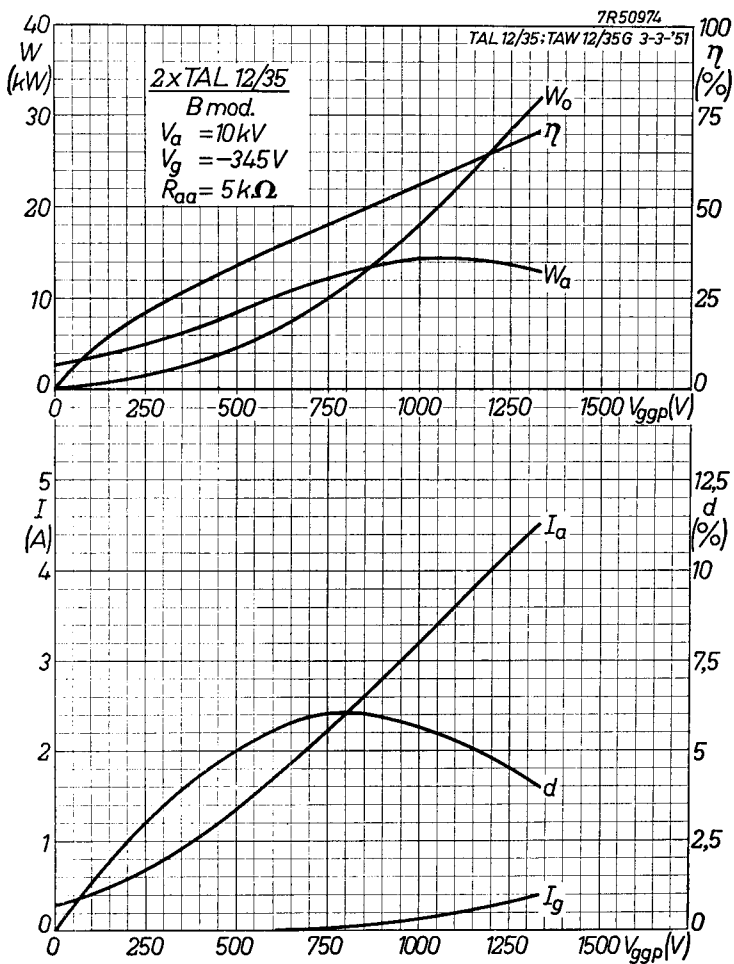
# PHILIPS

**TAL 12/35**

TAL 12/35

PHILIPS





**PHILIPS**

*Electronic*  
*Tube*

**HANDBOOK**

**TAL12/35**

<b>page</b>	<b>sheet</b>	<b>date</b>
1	1	1954.07.07
2	2	1954.07.07
3	3	1954.07.07
4	4	1954.07.07
5	5	1951.03.03
6	6	1951.03.03
7	7	1954.07.07
8	A	1954.07.07
9	B	1954.07.07
10	C	1954.07.07
11	D	1954.07.07
12	E	1954.07.07
13	F	1954.07.07
14	G	1955.03.03
15	H	1955.03.03
16	I	1954.07.07
17	J	1954.07.07
18	K	1954.07.07
19	L	1954.07.07

20	M	1954.07.07
21	N	1954.07.07
22	O	1954.07.07
23, 24	FP	1999.11.17